

■ 第 1 章

図 1.4 池の画像（左：写真, 右：生成 AI）（p.5）



## ■ 第6章

図 6.10 手法別の判別境界 (1 ブランド 500 サンプル時) (p.122)

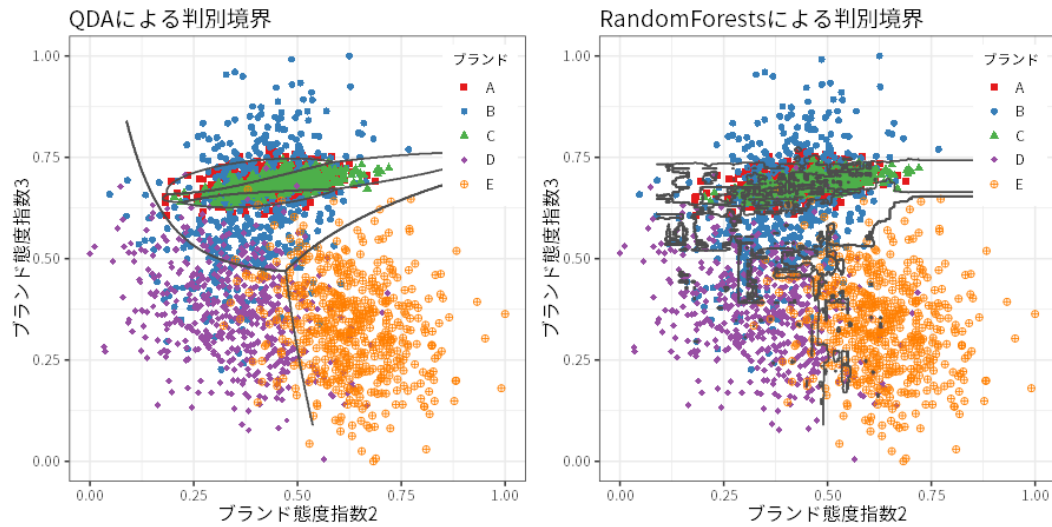
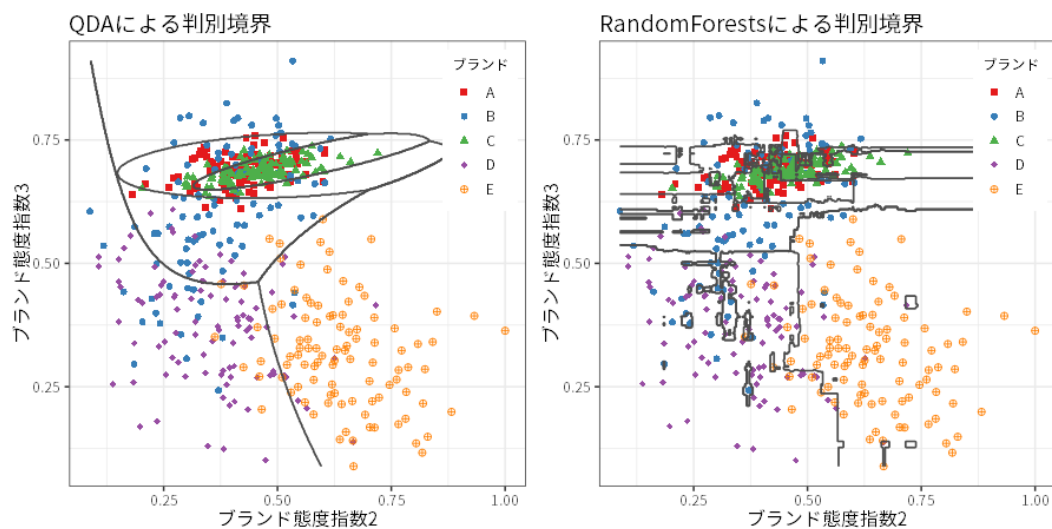


図 6.11 手法別の判別境界 (1 ブランド 100 サンプル時) (p.122)



## ■ 第7章

図 7.1 k-means 法シードの一括選択(左)と球状でないクラスター(右) (p.128)

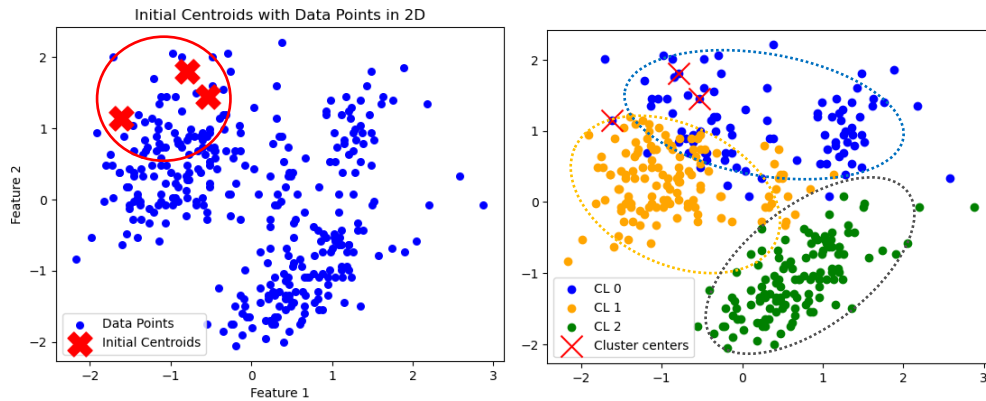


図 7.4 k-means++法の外れ値の選択 (p.131)

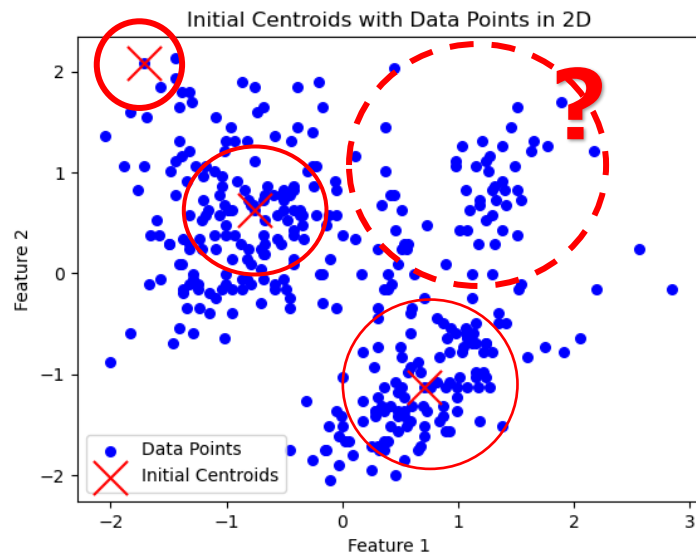


図 7.6 k-means++の外れ値の選択と k-umeyama の外れ値の非選択 (p.132)

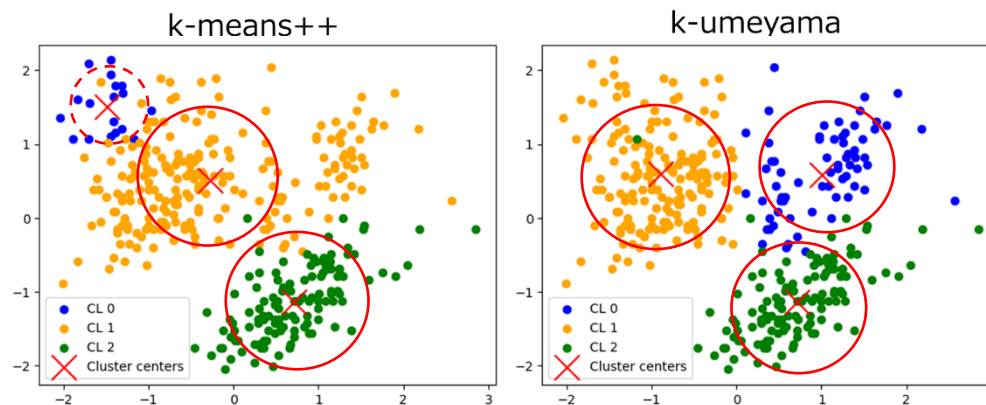


図 7.7 因子得点の散布図(因子分析・直交化) (p.135)

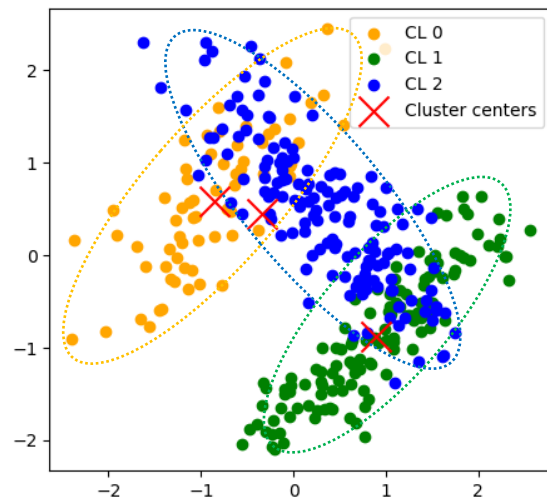


図 7.10 クラスタとチャフ (p.138)

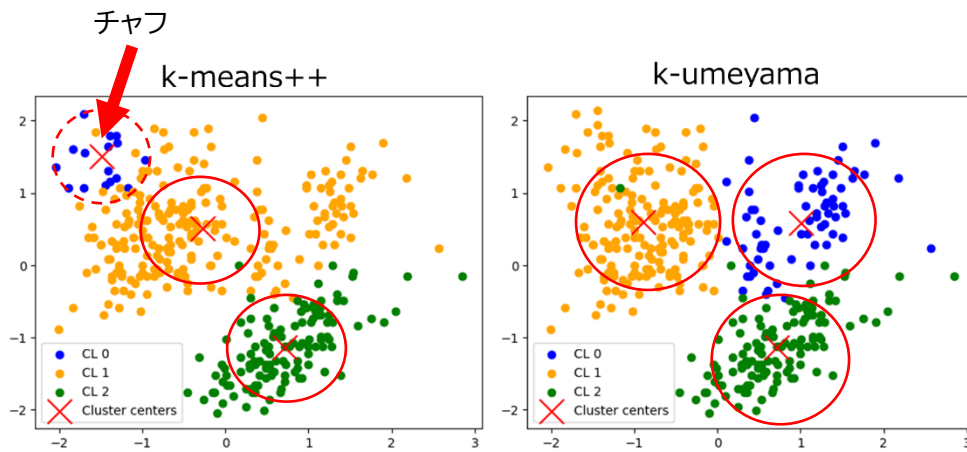


図 7.16 ブラックホールのスパース主成分分析 (p.146)

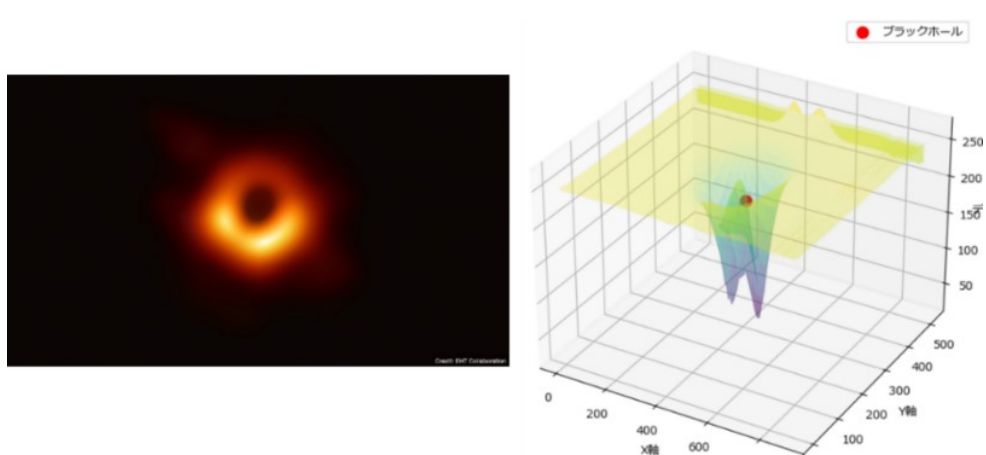


図 7.17 画像修復への応用例 (p.146)





## ■ 第 8 章

図 8.4 LuNet-5 による MNIST の識別能力 (p.159)

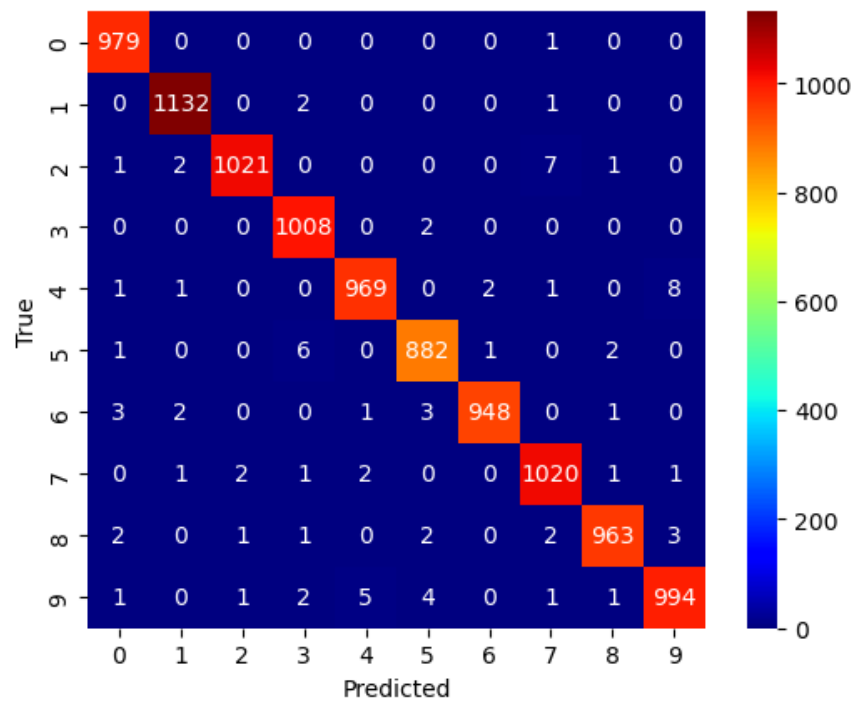


図 8.7 (a)MNIST の主成分分析(PCA)、および(b)オートエンコーダによる潜在表現(Z)  
(p.162)

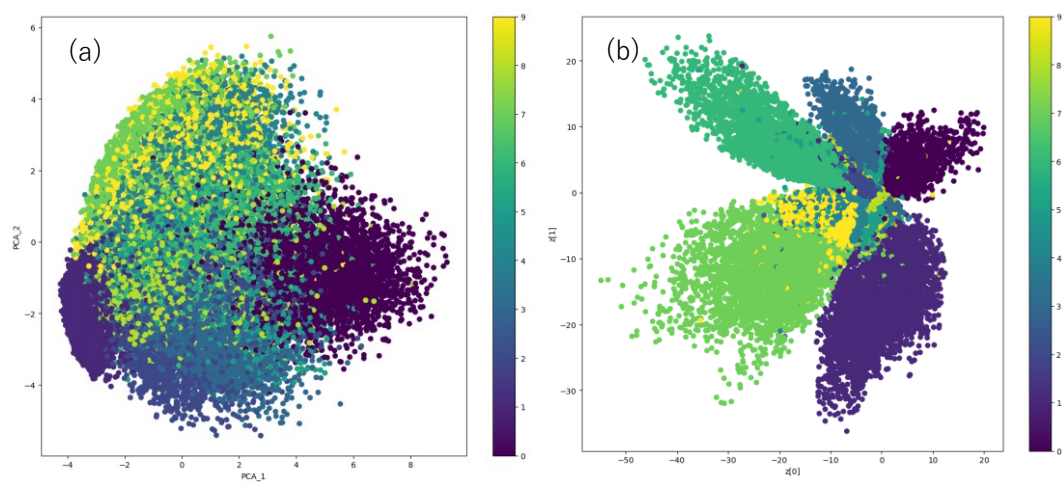


図 8.9 MNIST の VCA によって次元圧縮された潜在空間の表現 (p.165)

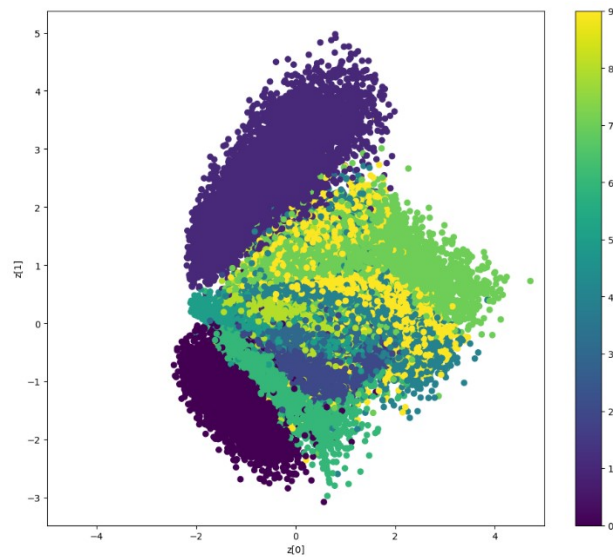
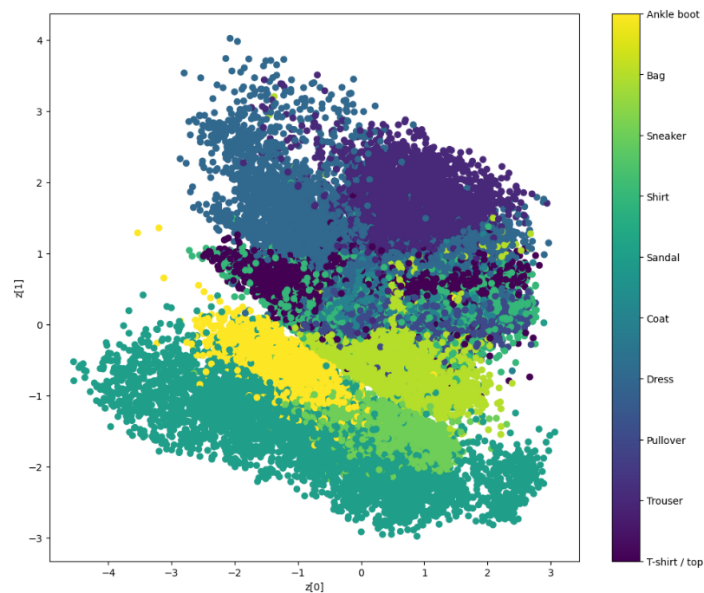
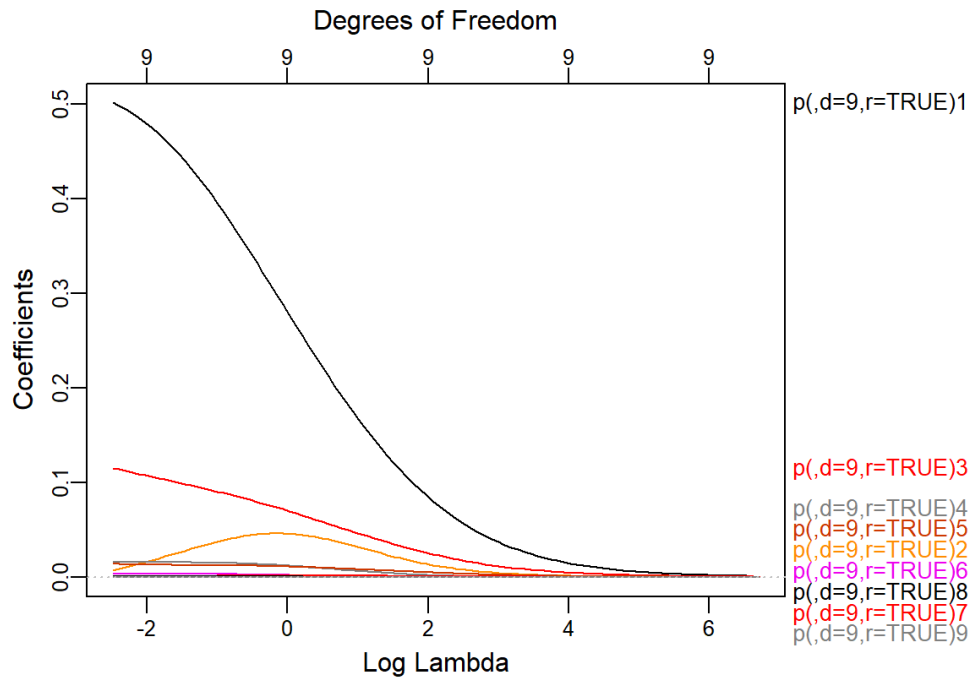


図 8.12 Fashion-MNIST の VCA によって次元圧縮された潜在空間の表現 (p.168)



## ■ 付録 B

挿入図 (p.229)



挿入図 (p.230)

